УДК 602.17

АВТОНОМНОЕ ДВИЖЕНИЕ ВЫСОКОМАНЕВРЕННОГО МОБИЛЬНОГО РОБОТА С ОМНИКОЛЕСАМИ В НЕДЕТЕРМИНИРОВАННОЙ СРЕДЕ*

Ю.Л. Караваев, А.В. Клековкин, К.С. Ефремов, В.А. Шестаков

Работа посвящена решению задачи автономного объезда препятствий, возникающих на пути движения высокоманевренного омниколесного мобильного робота. Приведено описание конструкции мобильного робота и структурная схема его системы управления. Функционирование мобильного робота осуществляется с помощью средств мета-операционной системы ROS. Приведены результаты экспериментальных исследований, разработанных алгоритмов управления для созданного прототипа мобильного робота.

Ключевые слова: омниколесный робот, лидар, навигация, метод одновременной локализации и построения карты (SLAM).

AUTONOMOUS MOVING OF A HIGHLY MANEUVERABLE MOBILE ROBOT WITH OMNIWHEELS IN UNKNOWN ENVIRONMENT

Yu.L. Karavaev, A.V. Klekovkin, K.S. Efremov, V.A. Shestakov

This paper is dedicated to solve a task of autonomous obstacle avoidances, which arise on a path of motion of a highly maneuverable omniwheel mobile robot. Design description and a system architecture of the mobile robot are described. Mobile robot functionality is realized by means of instrumentality of the ROS meta-operating system. Experimental research results, the developed control algorithm for the created prototype of a mobile robot are described.

Keywords: omniwheel robot, lidar, navigation, simultaneous localization and mapping (SLAM).

Введение

Степень автономности современных робототехнических систем характеризуется их способностью идентификации объектов окружающей среды и возможностью определения их локализации в недетерминированных условиях, что решается с помощью систем технического зрения [1]. В настоящее время активно развиваются и тестируются скоростные и достаточно точные сенсоры, позволяющие мобильным роботам, беспилотным автомобилям и беспилотным летательным аппаратам идентифицировать окружающие объекты, а их системы управления на основании полученной информации формируют стратегию дальнейшего

поведения. К числу таких сенсоров относятся оптические камеры, лазерные сканирующие системы (лидары), времяпролетные камеры и др. Однако их стоимость значительно превышает стоимость самих мобильных платформ и может достигать нескольких миллионов рублей.

С другой стороны, при формировании стратегии поведения автономного мобильного робота система управления должна учитывать ограничения, накладываемые его конструкцией на возможность реализации различных движений, необходимых, например, для объезда препятствия или исключения столкновения с ним. Так, хорошо известные конструкции мобильных роботов с автомобильной компоновкой

^{*} Исследование выполнено при финансовой поддержке РФФИ и Удмуртской республики в рамках научного проекта № 18-48-183004, работа Клековкина А.В. выполнена в рамках программы «УМНИК» при поддержке Фонда содействия развитию малых форм предприятий в научно-технической сфере (№12593ГУ/2017).

шасси [2] и двухколесными шасси со сферической опорой или колесом рояльного типа [3] имеют существенные ограничения по маневренности, несмотря на простоту и распространенность конструкций. При реализации автономного режима движения это может привести к выполнению дополнительных маневров, отклонению траектории движения от заданной, что скажется на времени выполнения задачи.

В отличие от мобильных роботов с обычными колесами омниколесные мобильные роботы являются высокоманевренными, что позволяет им реализовать движение с места в любом направлении. Известные конструкции высокоманевренных мобильных роботов [4–7] при реализации автономного движения позволяют формировать наиболее быстрые маршруты движения, в том числе с объездом препятствий. Однако в существующих пакетах навигации нет специально разработанных с учетом конструкции и возможностей омниколесных роботов.

В данной работе приведены модель высокоманевренного мобильного робота с разработанной системой управления на основе недорогой элементной базой под управлением метаоперационной системы ROS (Robot Operation System) [8] с открытым исходным кодом и пакетом навигации g-mapping [9] и результаты проведенных экспериментальных исследований и выводы о применимости кинематической модели движения омниколесного робота.

Конструкция высокоманевренного мобильного робота

Высокоманевренный мобильный робот представляет собой платформу, к которой крепятся четыре роликонесущих колеса *Месапит* [5, 6] (ролики на колесах расположены под углом 45° к оси колеса) с приводами. Индивидуальное оснащение каждого из колес своим приводом дает возможность задавать требуемые сочета-

ния скоростей вращения колес, что позволяет реализовать всенаправленные перемещения мобильного робота на плоскости. На каждом приводе колеса установлен датчик обратной связи (энкодер), с помощью которого обеспечивается вращение колеса с заданной скоростью. Для поддержания требуемой скорости каждого колеса разработан пропорционально-интегрально-дифференцирующий (ПИД)-регулятор. Определение коэффициентов регулирования для рассматриваемого высокоманевренного робота (рис. 1) проводилось согласно экспериментальной методике, приведенной в работе [10].

На роботе установлен лазерный датчик расстояния — лидар (транслитерация LIDAR, англ. $Light\ Identification\ Detection\ and\ Ranging$), формирующий цилиндрическую развертку с углом обзора 360° .

Для управления мобильным роботом используются кинематическая модель движения, описанная в работах [5, 7]. Данная модель строится на неголономной связи, исключающей проскальзывание роликов колес относительно подстилающей поверхности. В этом случае уравнение, связывающее угол поворота колеса с заданной траекторией, запишется в виде

$$\dot{\Psi}_i = -\frac{1}{(\alpha_i, \tau_i) \cdot h} \cdot (V_{Oi}, \alpha_i), \qquad (1)$$

где ψ_i — угол поворота i-го колеса ($i=1,\ldots,4$); α_i — единичный вектор i-го колеса, направленный вдоль оси закрепления роликов; τ_i — касательный единичный вектор i-го колеса к плоскости колеса в точке контакта; h — радиус колеса; V_{0i} — вектор скорости центра i-го колеса, который определяется как

$$V_{Oi} = V + \omega \cdot r_{i}$$

где V = (x, y, 0) — линейная скорость робота; $\omega = (0, 0, \omega_i)$ — угловая скорость вращения





Рис. 1. Высокоманевренный мобильный робот: a – конструкция в сборе; δ – отдельный колесный модуль

робота относительно вертикальной оси, проходящей через его центр масс; r_i — радиус-вектор, направленный от центра мобильного робота до центра i-го колеса, определяющий его положение. В общем случае траектория может быть задана функциями изменения соответствующих координат от времени.

Подставляя в уравнение (1) известные значения векторов, определяющих геометрию робота, изображенного на рис. 1, получим следующие выражения для расчета управляющих воздействий, в качестве которых выступали угловые скорости колес:

$$\begin{bmatrix} \dot{\psi}_1 \\ \dot{\psi}_2 \\ \dot{\psi}_3 \\ \dot{\psi}_4 \end{bmatrix} = \begin{bmatrix} -21,05\dot{x} - 21,05\dot{y} + 4,76w_Z \\ -21,05\dot{x} + 21,05\dot{y} + 4,76w_Z \\ 21,05\dot{x} + 21,05\dot{y} + 4,76w_Z \\ 21,05\dot{x} - 21,05\dot{y} + 4,76w_Z \end{bmatrix}.$$
(2)

Система управления мобильным роботом

Для реализации автономного объезда препятствий на пути движения мобильного робота разработана система управления, схема которой приведена на рис. 2. Система управления реализована в мета-операционной системе ROS Kinetic, установленной на одноплатный компьютер Gigabyte N3050N-D2P. Подробное описание примеров использования ROS для управления мобильными роботами можно найти в работах [8, 9].

Для реализации автономного движения рассматриваемого мобильного робота использованы следующие пакеты из состава *ROS*:

— rp-lidar — пакет для преобразования данных с лидара марки RPLidarA1 фирмы Slamtec, разработанный специально для ROS. Сенсор делает 2000 измерений в секунду и вращается со скоростью около 5,5 об./с, что позволяет делать измерения через каждые 0,99°. В системе управления пакет rp-lidar преобразует их в стандартизированные для ROS сообщения, включающие заголовок со служебной ин-

формацией и массив из 360 значений. Каждое значение элемента массива соответствует расстоянию до объекта, а индекс – углу, при котором это расстояние измерено. Пропущенные и неправильные значения заменяются нулями;

- laser-scan-matching пакет, реализующий алгоритм лазерной одометрии (оценка положения робота путем анализа последовательного лазерного сканирования). Выходными данными пакета являются координаты робота относительно точки начала движения;
- gmapping пакет, реализующий SLAM алгоритм [9]. На вход подаются два вида данных: текущий массив из 360 значений расстояний и координаты робота относительно точки начала движения. По этим данным алгоритм выстраивает карту, состоящую из квадратов. Каждый квадрат карты содержит значение, равное вероятности нахождения в нем препятствия. После прохождения через пороговые функции квадраты делятся на три типа по величине потенциального поля: свободный, занятый и неисследованный.
- move-base пакет планирования траектории движения и управления перемещением. Задачей пакета являются построение траектории и управление следованием по заданной траектории. Для обозначения препятствий пакет применяет метод потенциальных полей. Подробнее применение метода рассмотрено в статьях [11, 12]. Траектория строится в обход стационарных и движущихся препятствий, на расстоянии не менее ширины конфигурируемого отталкивающего потенциального поля. Пакет имеет два планировщика пути: локальный и глобальный. Глобальный планировщик пути по принятой на вход карте строит глобальную траекторию до цели. Локальный планировщик выстраивает траекторию, уменьшающую отклонение от глобальной траектории, и задает вектор направления движения робота. Выходными данными пакета являются траектория движения мобильного робота и вектор движения робота;

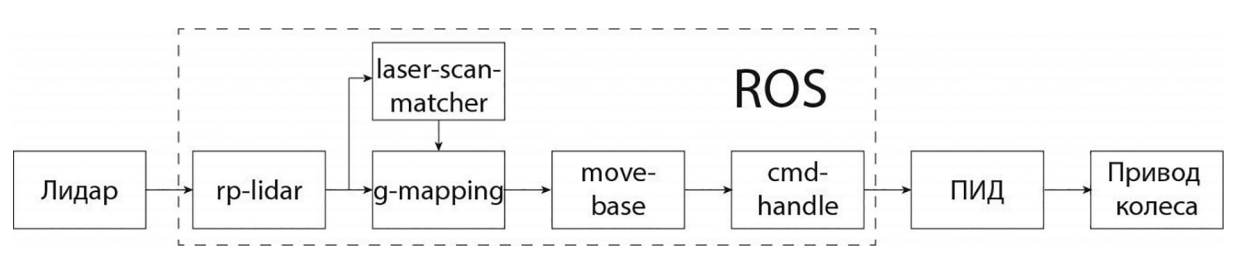


Рис. 2. Структурная схема реализации системы управления мобильного робота

— cmd-handle — пакет, разработанный по концепции ROS для рассматриваемого омниколесного мобильного робота. Пакет преобразует команды управления движением робота в команды управления двигателями приводов колес робота в соответствии с кинематическими уравнениями (2).

Проведение экспериментальных исследований

Для проверки алгоритма автономного движения робота проведены две серии экспериментов по исследованию движения высокоманевренного мобильного робота в заданную точку на тестовом полигоне размерами 1,5×2 м. Каждая серия включала по пять экспериментов при одинаковых условиях.

Первая серия экспериментов проводилась на полигоне без препятствий. В ходе экспериментов мобильный робот передвигался из начальной точки с координатами (0;0) в точку с координатами (1,4; 0,7), где координаты заданы в системе координат, связанной с геометрическим центром мобильного робота в начальный момент движения, т.е. в месте включения SLAM алгоритма. Траектория движения формировалась с помощью пакета move-base в процессе движения мобильного робота с учетом окружающих объектов. Типовая траектория движения мобильного робота в рамках первой серии экспериментов приведена на рис. 3, а. Данное изображение получено с помощью визуализации данных, полученных с лидара и обработанных

системой управления. Границы полигона (см. рис. 3, *a*) обозначены черным цветом, исследованная часть – светлая, не исследованная – темная. Области вблизи границ полигона обозначают потенциальные поля.

Управляющие воздействия, в качестве которых выступали угловые скорости вращения колес и которые формировались системой управления для движения вдоль данной траектории, приведены на рис. 3, δ . Изменяющийся характер угловых скоростей колес во времени отражает работу алгоритма управления в процессе движения мобильного робота и работу метода потенциальных полей.

Максимальное отклонение конечной точки траектории от заданной не превышало 3 см, что позволяет сделать вывод о возможности точного позиционирования высокоманевренного мобильного робота в автономном режиме.

Во второй серии экспериментов в центре полигона на пути движения робота размещено препятствие прямоугольной формы. На карте препятствие показано в виде черного прямоугольника с потенциальным полем снаружи и неисследованной частью внутри.

На рис. 3, в приведена типовая траектория движения, огибающая препятствие, в точку с координатами (1,25; 0,2), а на рис. 3, г соответствующие зависимости угловых скоростей вращения колес от времени. Характер изменения угловых скоростей позволяет проанализировать работу системы управления, а именно, моменты ускоренного прямолинейного дви-

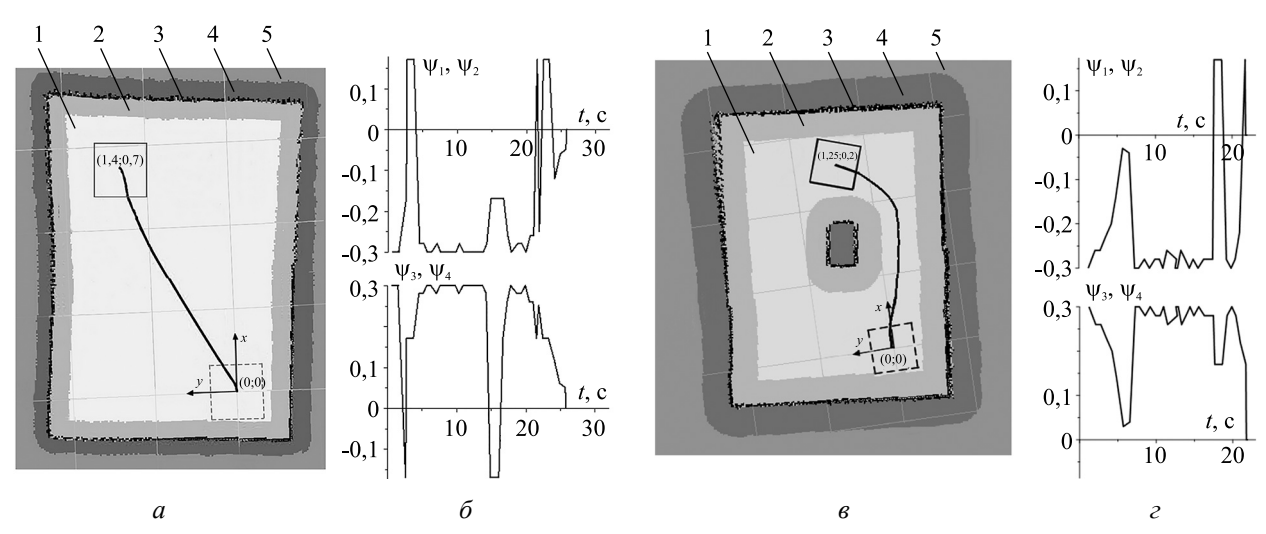


Рис. 3. Движение робота в заданную точку и графики изменения угловых скоростей колес при отсутствии препятствий (a, δ соответственно) и с препятствием (δ , δ соответственно):

1 – свободная часть карты; 2 – область вблизи препятствий;

3 – границы полигона (непреодолимое препятствие); 4 – потенциальное поле препятствия со стороны неисследованной части карты; 5 – неисследованная область

жения, поворотов, замедленного движения, что вызвано появлением препятствия на пути следования мобильного робота и формированием траектории объезда.

Траектория движения робота находится в исследованной свободной области и не затрагивает области с препятствиями. Максимальное отклонение конечной точки траектории в данной серии экспериментов также не превышает 3 см. При этом траектория движения омниколесного мобильного робота является гладкой, без резких перегибов или дополнительных вспомогательных маневров, которые, как правило, сопровождают движение мобильных роботов с классическими колесами.

Результаты проведенных экспериментов подтверждают возможность точного позиционирования высокоманевренного мобильного робота в автономном режиме при недорогой элементной базе, а также работоспособность алгоритма и системы управления для движения мобильного робота при наличии препятствия на пути его движения.

Замедление движения мобильного робота, что соответсвует уменьшению угловых скоростей вращения колес (начиная с 5-й с, см. рис. 3, г) указывает на момент, когда система управления начинает перестраивать траекторию движения и пересчитывать управляющие воздействия. Из-за низкой производительности системы управления и не высокой точности лазерного сканера процесс локализации с учетом препятствия и формирование новых управлений замедляют скорость движения мобильного робота и в общем случае могут привести к его остановке.

Для увеличения скорости работы алгоритмов и обеспечения равномерной скорости движения робота, в дальнейшем необходимо перенести систему управления на более производительную аппаратную платформу.

Заключение

Результаты проведенных экспериментальных исследований позволяют сделать вывод о применимости кинематической модели движения омниколесного робота для расчета управляющих воздействий и планирования траектории движения с помощью программных пакетов мета-операционной системы *ROS*. При этом в качестве сенсоров, используемых для построения карты окружающей среды, использовался наиболее доступный однолучевой лазерный сканирующий дальномер. Проведен-

ные эксперименты демонстрируют работоспособность алгоритма при следовании робота по траектории без препятствий и с объездом статических препятствий.

В дальнейшем предполагается усовершенствовать систему управления для повышения точности и скорости движения робота, а также для обеспечения его равномерного движения. Помимо переноса системы управления на более производительную платформу, необходимо решить задачу формирования оптимальных маневров омниколесных мобильных роботов, учитывающих их высокую маневренность и динамику движения.

Также планируется решить задачу определения динамически движущихся объектов, в том числе с прогнозированием их движения.

Список литературы

- 1. Писаревский А.Н., Чернявский А.Ф., Афанасьев Г.К. Системы технического зрения (принципиальные основы, аппаратное и математическое обеспечение). Л.: Машиностроение. 1988 424 с.
- 2. Алгоритмы управления четырехколесным роботом при движении по пересеченной местности / М.И. *Евстигнеев*, Ю.В. *Литвинов*, *В.В. Мазулина*, Г.М. Мищенко // Изв. вузов. Приборостроение. 2015. Т. 58. № 9. С. 738–741.
- 3. *Boucher S.* Obstacle detection and avoidance using turtlebot platform and xbox kinect // Department of Computer Science, Rochester Institute of Technology. 2012. P. 56.
- 4. *Караваев Ю.Л., Клековкин А.В., Лесин С.К.* Мультисенсорная информационно-измерительная система мобильного робота для реализации движения в недетерминированной среде // Интеллектуальные системы в производстве. 2016. № 4. С. 111–115.
- 5. *Borisov A.V., Kilin A.A., Mamaev I.S.*, Dynamics and Control of an Omniwheel Vehicle // Regular and Chaotic Dynamics. 2015. Vol. 20. No. 2. P. 153–172.
- Караваев Ю.Л., Килин А.А. Динамика сфероробота с внутренней омниколесной платформой // Нелинейная динамика. 2015. Т. 11.
 № 1. С. 187–204.
- 7. *Килин А.А.*, *Караваев Ю.Л*. Кинематическая модель управления сферороботом с неуравновешенной омниколесной платформой // Нелинейная динамика. 2014. Т. 10. № 4. С. 497–511.

- 8. ROS: an open-source Robot Operating System / *Quigley M. et al.* // ICRA Workshop on Open Source Software. 2009. Vol. 3. No. 3.2. P. 5.
- 9. *Grisetti G., Stachniss C., Burgard W.* Improved techniques for grid mapping with rao-blackwellized particle filters // IEEE Transactions on Robotics. 2007. Vol. 23. No. 1. P. 34–46.
- 10. Experimental investigations of a highly maneuverable mobile omniwheel robot / A.A. Kilin, P. Bozek, Y.L. Karavaev, A.V. Klekovkin, V.A. Shestakov // International Journal of
- Advanced Robotic Systems. 2017. Vol. 14. No. 6. P. 1–9.
- 11. *Ge S. S., Cui Y. J.* Dynamic motion planning for mobile robots using potential field method // Autonomous Robots. 2002. Vol. 13. No. 3. P. 207–222.
- 12. Wang Y., Chirikjian G.S. A new potential field method for robot path planning // Robotics and Automation, 2000. Proceedings. ICRA'00. IEEE International Conference on. IEEE. 2000. Vol. 2. P. 977–982.

KAPABAEB Кандидат физико-математических наук, доцент кафедры «Мехатронные си-Юрий Леонидович стемы» ИжГТУ им. М.Т. Калашникова. Сфера научных интересов: мобильные роботы, системы управления, мехатроника. Автор более 30 научных статей. E-mail: karawaew_yura@mail.ru Тел.: (950) 811-51-10 **КЛЕКОВКИН** Аспирант кафедры «Мехатронные системы» ИжГТУ им. М.Т. Калашникова. Антон Владимирович Сфера научных интересов: мобильные роботы, системы управления, мехатроника. Автор порядка 15 научных статей. E-mail: klanvlad@mail.ru Тел.: (950)170-09-91 ЕФРЕМОВ Аспирант кафедры «Мехатронные системы» ИжГТУ им. М.Т. Калашникова. Кирилл Сергеевич Сфера научных интересов: мобильные роботы, системы управления, мехатроника. Автор 3 научных статей. E-mail: ks.efremov18@gmail.com Тел.: (950) 150-31-38 Шестаков Магистрант кафедры «Мехатронные системы» ИжГТУ им. М.Т. Калашникова. Вячеслав Александрович Сфера научных интересов: мобильные роботы, системы управления, мехатроника. Автор 5 научных статей. E-mail: slafik9526@gmail.com Тел.: (951) 200-32-09